

确率存在差异,为降低右颈内静脉穿刺失败率,笔者认为如果患者颈部条件容许,应首选前路,其次是中路实施右颈内静脉穿刺。

参考文献

- 1 Schummer W, Schummer C, Rose N, et al. Mechanical complications and malpositions of central venous cannulations by experienced operators. A prospective study of 1794 catheterizations in critically ill patients[J]. Intensive Care Med, 2007, 33(6): 1055–1059
 - 2 Hind D, Calvert N, McWilliams R, et al. Ultrasonic locating devices for central venous cannulation: meta-analysis[J]. BMJ, 2003, 327(7411): 361
 - 3 Oda M, Fukushima Y, Hirota T, et al. The para-carotid approach for internal jugular catheterization[J]. Anaesthesia, 1981, 36(9): 896–900
 - 4 Denys BG, Uretsky BF. Anatomical variations of internal jugular vein location: impact on central venous access[J]. Crit Care Med, 1991, 19(12): 1516–1519
 - 5 Daily PO, Griep RB, Shumway NE. Percutaneous internal jugular vein cannulation[J]. Arch Surg, 1970, 101(4): 534–536
 - 6 Denys BG, Uretsky BF, Reddy PS. Ultrasound-assisted cannulation of the internal jugular vein. A prospective comparison to the external landmark-guided technique[J]. Circulation, 1993, 87(5): 1557–1562
 - 7 Gordon AC, Saliken JC, Johns D, et al. US-guided puncture of the internal jugular vein: complications and anatomic considerations[J]. J Vasc Interv Radiol, 1998, 9(2): 333–338
 - 8 Ray BR, Mohan VK, Kashyap L, et al. Internal jugular vein cannulation: a comparison of three techniques[J]. J Anaesthesiol Clin Pharmacol, 2013, 29(3): 367–371
 - 9 Rao TL, Wong AY, Salem MR. A new approach to percutaneous catheterization of the internal jugular vein[J]. Anesthesiology, 1977, 46(5): 362–364
 - 10 Park SY, Kim MJ, Kim MG, et al. Changes in the relationship between the right internal jugular vein and an anatomical landmark after head rotation[J]. Korean J Anesthesiol, 2011, 61(2): 107–111
 - 11 Wang R, Snoey ER, Clements RC, et al. Effect of head rotation on vascular anatomy of the neck: an ultrasound study[J]. J Emerg Med, 2006, 31(3): 283–286
 - 12 Sulek CA, Gravenstein N, Blackshear RH, et al. Head rotation during internal jugular vein cannulation and the risk of carotid artery puncture[J]. Anesth Analg, 1996, 82(1): 125–128
 - 13 Lieberman JA, Williams KA, Rosenberg AL. Optimal head rotation for internal jugular vein cannulation when relying on external landmarks[J]. Anesth Analg, 2004, 99(4): 982–988
 - 14 Gwak MJ, Park JY, Suk EH, et al. Effects of head rotation on the right internal jugular vein in infants and young children[J]. Anaesthesia, 2010, 65(3): 272–276
- (收稿日期:2015-01-26)
(修回日期:2015-02-09)

二苯乙烯苷对低氧肺动脉平滑肌细胞增殖的影响

张志勇 杨水珍

摘要 目的 探讨二苯乙烯苷对低氧肺动脉平滑肌细胞(PASMCs)增殖的影响及其机制。**方法** SD大鼠PASMCs经低氧及TSG干预24h后,CCK-8检测细胞增殖及TSG的细胞毒作用,流式细胞仪分析细胞周期,实时定量PCR(RT-PCR)检测HIF-1 α mRNA的表达,酶标仪检测活性氧(ROS)的产生。**结果** 二苯乙烯苷能够抑制低氧PASMCs增殖,阻滞细胞周期于G₀/G₁~S期,并且实验浓度的二苯乙烯苷无明显细胞毒作用,进一步的研究发现二苯乙烯苷能够抑制HIF-1 α mRNA的表达及ROS的产生。**结论** 二苯乙烯苷可抑制低氧PASMCs增殖,其机制可能与抑制HIF-1 α mRNA的表达及ROS产生有关。

关键词 低氧 肺动脉平滑肌细胞 二苯乙烯苷 增殖

中图分类号 R3 **文献标识码** A **DOI** 10.11969/j.issn.1673-548X.2015.10.043

Effect of 2,3,4',5-Tetrahydroxystilbene-2-O-beta-D-glucoside on the Proliferation of Pulmonary Artery Smooth Muscle Cells Induced by Hypoxia. Zhang Zhiyong, Yang Shuzhen. Zhongxiang People's Hospital, Hubei 431900, China

Abstract Objective To investigate the effects of the 2,3,4',5-Tetrahydroxystilbene-2-O-beta-D-glucoside on the proliferation of PASMCs induced by hypoxia, in order to search new drugs for the treatment and prevention of hypoxic pulmonary vascular remodeling. **Methods** 3% O₂ hypoxia was used to induce the proliferation of PASMCs. After hypoxic and TSG treatment for 24h, cell growth was determined by cell counting kit-8 (CCK-8), cell cycle was analyzed by flow cytometry, the mRNA expression of HIF-1 α was measured by quantitative real-time PCR, and the reactive oxygen species (ROS) production was determined by the fluorescence micro-

作者单位:431900 钟祥市人民医院耳鼻喉科(张志勇),呼吸科(杨水珍)

通讯作者:张志勇,电子信箱:zhangzhiyong2014@163.com

plate reader. **Results** TSG can block the proliferation of PASMCs through G₀/G₁ to S phase of the cell cycle arrest without cell cytotoxicity. Further experiments showed that TSG blocking the proliferation of PASMCs was associated suppression the mRNA expression of HIF-1 α and the production of intracellular ROS in hypoxia - stimulated - PASMCs. **Conclusion** TSG can inhibit the proliferation of pulmonary artery smooth muscle cells induced by hypoxia through suppression the mRNA expression of HIF-1 α and the production of intracellular ROS.

Key words Hypoxia; Pulmonary artery smooth muscle cells; 2,3,4',5-Tetrahydroxystilbene-2-O-beta-D-glucoside; Proliferation

低氧肺血管结构重构是慢性低氧肺动脉高压的重要病理生理基础,其对低氧肺动脉高压的发生、发展以及预后具有重要意义。低氧肺动脉平滑肌细胞(PASMCs)的异常增殖、迁移以及细胞外基质的异常沉积,可导致肺血管壁变厚、管腔狭窄顺应性降低是导致肺血管重构的基础,低氧肺血管重构的机制目前尚未完全阐明^[1,2]。二苯乙烯苷(2,3,5,4-tetrahydroxyl diphenylethylene-2-o-glucoside, TSG)是从中药何首乌分离的一种主要有效活性成分单体,研究表明TSG可通过调节NO、血管内皮生长因子、MMP-2/9等的表达,抑制血管的内膜增厚及脂质沉积^[3,4]。研究还发现,TSG通过调节ERK1/2和NO/cGMP/PKG信号通路,抑制血管平滑肌细胞(VSMCs)增殖,起到抑制动脉粥样硬化的作^[5,6]。有关TSG在低氧PASMCs增殖中的作用及其机制未见相关研究。本研究通过观察低氧条件下TSG对大鼠PASMCs增殖影响,从细胞水平探讨TSG对低氧肺血管重构的影响及其机制。

材料与方法

1. 材料:SD大鼠(150~200g)购自武汉大学实验动物中心;I胶原酶、溴化乙啶(PI)、RNA酶、DCFH-DA购自Sigma公司;CCK-8试剂盒购自碧云天生物科技有限公司;DMEM/F12培养基、0.25%胰酶、双抗(青霉素+链霉素)、胎牛血清等购自Hyclone公司;HIF- α 抗体以及GAPDH抗体购自Cell Signaling Technology公司。低氧培养箱购自Coylab公司,荧光酶标仪购自Bio-Tek公司。

2. SD大鼠PASMCs原代培养:采用0.2%I胶原酶消化分离PASMCs,细胞传至第3代时经SM- α -actin免疫细胞化学染色法进行血管平滑肌细胞鉴定(纯度>95%),使用0.25%的胰酶消化PASMCs并以1:2的比例传代,4~10代细胞生长稳定用于本研究。

3. 实验分组:①空白对照组;②低氧组;③10 μ mol/L TSG低氧组;④20 μ mol/L TSG低氧组;⑤50 μ mol/L TSG低氧组。常氧组采用95%空气+5%CO₂培养,低氧培养采用低氧培养采用3%O₂、92%N₂和5%CO₂培养,当细胞融合度达到70%左右时,采用不含血清的培养基饥饿细胞24h,完全排除血清的影响后,分别进行常氧或低氧培养,其中TSG干预组给予不

同浓度的TSG预处理2h后进行低氧培养。

4. PCR检测HIF-1 α :细胞生长于6孔板,冷PBS洗涤两次,每孔加入1ml TRIzol提取细胞的总RNA,采用紫外分光光度法测定其含量与纯度。取大约5 μ l总RNA,使用罗氏反转录试剂盒反转录为cDNA。PCR扩增后采用GAPDH比较得出标准化值。引物序列为:GAPDH:上游引物:5'-GACATGCCGCCTGGAGAAC-3',下游引物:5'-AGCCCAGGATGCCCTTAGT-3';HIF-1 α :上游引物:5'-GTCGGACAGCCTCACCAAACAGAGC-3',下游引物:5'-GTTAACTTGATC-CAAAGCTCTGAG-3'。

5. CCK-8检测细胞增殖及细胞毒作用:将细胞接种至96孔板中,各组低氧或常氧培养24h后,每孔加入10 μ l CCK-8溶液,继续在培养箱中孵育3h,测定450nm吸光度。

6. 细胞周期检测:细胞接种至6孔板中,各组低氧或常氧培养24h后,胰酶消化并收集细胞,70%乙醇(无水乙醇+PBS)于4℃固定过夜。1500r/min离心5min,1ml的PBS洗细胞2次,加入485 μ l PBS重悬细胞、Triton X-100 1 μ l、1mg/ml RNase 5 μ l、1mg/ml溴化乙啶(PI)10 μ l,4℃避光孵育30min后,通过流式细胞仪分析细胞周期。

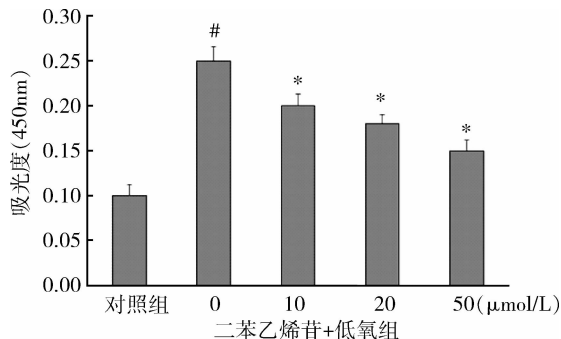
7. ROS的检测:将细胞以100 μ l,5 \times 10³/孔均匀接种于96孔板中,置于培养箱培养,细胞融合度达到70%时,将培养基更换为无血清的培养基饥饿24h,然后采用不同处理因素干预24h,将96孔板中的培养基换为用无血清培养液稀释终浓度为10 μ mol/L DCFH-DA,继续孵育20min之后将培养基取出,使用无血清细胞培养液洗涤细胞3次,以排除未进入细胞内部的DCFH-DA的影响,最后再次加入磷酸盐缓冲液(PBS)100 μ l,置于酶标仪下检测,激发光波长为485nm,发射光波长为525nm。

8. 统计学方法:采用SPSS 16.0统计学软件处理实验数据,计量资料用均数±标准差($\bar{x}\pm s$)表示,两组之间比较采用两独立样本的t检验,多组比较采用双侧方差分析,以P<0.05为差异有统计学意义。

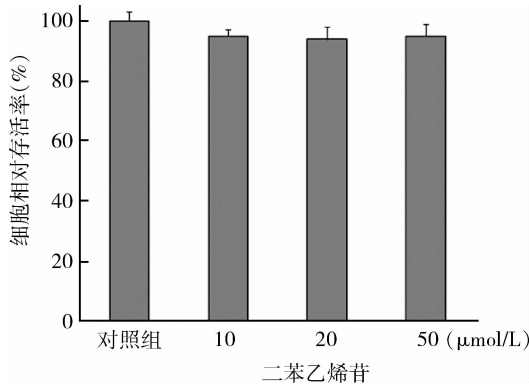
结 果

1. TSG能够抑制低氧PASMCs增殖:低氧刺激24h能够促进PASMCs增殖($P<0.05$),TSG(10、20、50 μ mol/L)抑制低氧诱导的PASMCs增殖具有浓度依赖性($P<0.05$,图1)。

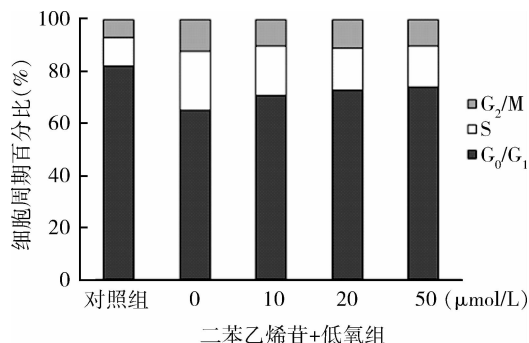
2. TSG对PASMCs存活率无影响:结果显示,与对照组相比,3种药物浓度(10、20、50 μ mol/L)二苯乙

图 1 TSG 对低氧 PASMCs 增殖的影响 ($n=6$)与对照组比较, $^{\#}P < 0.05$; 与 $0 \mu\text{mol/L}$ 二苯乙烯苷 +低氧组比较, $^{*}P < 0.05$

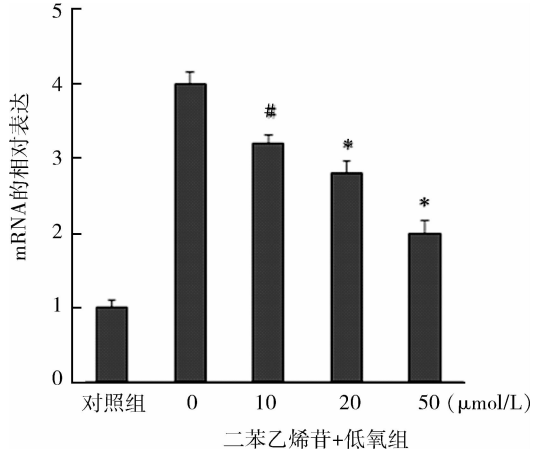
烯昔干预 24h 对 PASMCs 的存活率差异无统计学意义 ($P > 0.05$, 图 2)。

图 2 TSG 对 PASMCs 存活率的影响 ($n=6$)

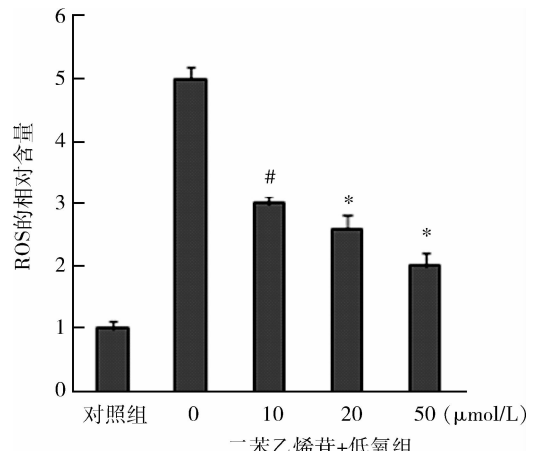
3. TSG 可抑制 PASMCs 细胞周期于 G_0/G_1 期: 低氧刺激 PASMCs 24h 后, 处于 G_0/G_1 细胞比例减少, S 期细胞比例增加, G_2/M 期细胞比例增加。与 $0 \mu\text{mol/L}$ 二苯乙烯苷 + 低氧组相比 TSG ($10, 20, 50 \mu\text{mol/L}$) 可使 G_0/G_1 细胞比例增加, S 期细胞比例增加 ($P < 0.05$), 对 G_2/M 期细胞比例无明显影响 ($P > 0.05$)。结果表明 TSG 可阻滞 PASMCs 细胞周期于 G_0/G_1 (图 3)。

图 3 TSG 对 PASMCs 细胞周期的影响 ($n=6$)

4. TSG 可抑制 HIF-1 α mRNA 的表达: 与对照组相比, 低氧刺激 PASMCs 24 h 后, PASMCs 内 HIF-1 α mRNA 的表达增加 ($P < 0.05$)。与 $0 \mu\text{mol/L}$ 二苯乙烯苷 + 低氧组相比, TSG ($10, 20, 50 \mu\text{mol/L}$) 可抑制 PASMCs 内 HIF-1 α mRNA 的表达, 且具有浓度依赖性 ($P < 0.05$, 图 4)。

图 4 TSG 对 HIF-1 α mRNA 的表达的影响 ($n=6$)与对照组比较, $^{\#}P < 0.05$; 与 $0 \mu\text{mol/L}$ 二苯乙烯苷 + 低氧组比较, $^{*}P < 0.05$

5. TSG 可抑制 ROS 产生: 与对照组相比, 低氧刺激 PASMCs 24h 后, PASMCs 内 ROS 增加 ($P < 0.05$), 与 $0 \mu\text{mol/L}$ 二苯乙烯苷 + 低氧组相比, TSG ($10, 20, 50 \mu\text{mol/L}$) 可抑制 PASMCs 内 ROS 产生, 且具有浓度依赖性 ($P < 0.05$, 图 5)。

图 5 TSG 对 ROS 产生的影响 ($n=6$)与对照组比较, $^{\#}P < 0.05$; 与 $0 \mu\text{mol/L}$ 二苯乙烯苷 + 低氧组比较, $^{*}P < 0.05$

讨 论

本研究发现, TSG 抑制低氧 PASMCs 增殖, 并且

实验浓度的 TSG 对 PASMCs 无明显毒性作用。本研究还表明 TSG 是通过阻滞细胞周期于 G₀/G₁ 期抑制低氧 PASMCs 增殖。进一步的研究表明, TSG 抑制 PASMCs 增殖的机制是通过降低细胞内 HIF - 1 α 表达及 ROS 产生来实现的。这些结果提示, TSG 可抑制 PASMCs 增殖, 继而低氧肺血管重构。

低氧能够使肺动脉壁各层细胞一系列结构和功能的变化, 尤其是中膜层 PASMCs 的异常增殖在低氧肺血管重构中发挥关键作用^[7,8]。细胞增殖受细胞周期的严格调控, 正常生理情况下 PASMC 处于静止 G₀ 期, 肺血管重构时需要处于静止 G₀ 期 PASMCs 进入和通过细胞周期各阶段^[9]。本研究表明 TSG 可抑制 PASMCs 细胞周期于 G₀/G₁ 期, 从而抑制低氧 PASMCs 增殖。

HIF - 1 是低氧条件下广泛表达于哺乳动物和人体的一种转录因子, 由一个由调节性亚基 HIF - 1 α 和一个构成性亚基 HIF - 1 β 组成, HIF - 1 α 决定 HIF - 1 的活性, HIF - 1 α 常氧条件下会经泛素途径降解而丧失活性, 低氧时 HIF - 1 α 表达上调, 并进入细胞核与 HIF - 1 β 结合形成二聚体后调节相关靶基因的转录, 是细胞适应低氧的核心调控因子, 与低氧性肺动脉高压和肺动脉平滑肌细胞增殖关系密切^[10]。HIF - 1 α 可增加细胞内 Ca²⁺ 浓度的以及调节多种活性介质的表达, 进而刺激肺动脉平滑肌细胞增殖^[11]。活性氧族 (reactive oxygen species, ROS) 是起源于线粒体呼吸链和电子传递链的反应分子和自由基, 作为细胞内信号分子, 参与细胞增殖及凋亡的调控。低氧条件下 PASMCs 内 ROS 产生增加, 运用抗氧化剂清除 ROS, 可以抑制低氧 PASMCs 增殖^[12]。研究表明 ROS 可能是通过调节 HIF - 1 α 表达及活性来调控低氧 PASMCs 增殖^[12,13]。另外 ROS 还可以通过调控 ERK1/2 信号通路促进低氧 PASMCs 增殖^[14]。本研究发现低氧能够促进 PASMCs 内 HIF - 1 α mRNA 的表达及 ROS 产生, 而 TSG 可抑制 PASMCs 内 HIF - 1 α mRNA 的表达及 ROS 产生。因此, 推测 TSG 抑制低氧 PASMCs 增殖机制可能与抑制 HIF - 1 α mRNA 的表达及 ROS 产生有关。TSG 有可能对低氧肺血管重构起到抑制作用。

参考文献

- Luo C, Yi B, Bai L, et al. Suppression of Akt1 phosphorylation by adenoviral transfer of the PTEN gene inhibits hypoxia - induced proliferation of rat pulmonary arterial smooth muscle cells [J]. Biochem Biophys Res Commun, 2010, 397(3): 486 - 492
- Leggett K, Maylor J, Undem C, et al. Hypoxia - induced migration in pulmonary arterial smooth muscle cells requires calcium - dependent upregulation of aquaporin 1 [J]. Am J Physiol Lung Cell Mol Physiol, 2012, 303(4): L343 - L353
- Zhang W, Xu XL, Wang YQ, et al. Effects of 2,3,4',5 - tetrahydroxystilbene 2 - O - beta - D - glucoside on vascular endothelial dysfunction in atherogenic - diet rats [J]. Planta Med, 2009, 75(11): 1209 - 1214
- Zhang W, Wang CH, Li F, et al. 2,3,4',5 - Tetrahydroxystilbene - 2 - O - beta - D - glucoside suppresses matrix metalloproteinase expression and inflammation in atherosclerotic rats [J]. Clin Exp Pharmacol Physiol, 2008, 35(3): 310 - 316
- Xu XL, Huang YJ, Chen XF, et al. 2,3,4',5 - tetrahydroxystilbene - 2 - O - β - D - glucoside inhibits proliferation of vascular smooth muscle cells: involvement of NO/cGMP/PKG pathway [J]. Phytother Res, 2012, 26(7): 1068 - 1074
- Xu XL, Huang YJ, Wang YQ, et al. 2,3,4',5 - Tetrahydroxystilbene - 2 - O - β - d - glucoside inhibits platelet - derived growth factor - induced proliferation of vascular smooth muscle cells by regulating the cell cycle [J]. Clin Exp Pharmacol Physiol, 2011, 38(5): 307 - 313
- Yi B, Cui J, Ning J, et al. Over - expression of PKGI α inhibits hypoxia - induced proliferation, Akt activation, and phenotype modulation of human PASMCs: the role of phenotype modulation of PASMCs in pulmonary vascular remodeling [J]. Gene, 2012, 492(2): 354 - 360
- 易斌, 俊羽, 白莉, 等. 野生型蛋白激酶 GI α 腺病毒抑制低氧肺动脉平滑肌细胞表型转换及细胞增殖 [J]. 中华内科杂志, 2010, 49(5): 385 - 388
- Fouty BW, Grimison B, Fagan KA, et al. p27 (Kip1) is important in modulating pulmonary artery smooth muscle cell proliferation [J]. Am J Respir Cell Mol Biol, 2001, 25(5): 652 - 658
- 李炽观, 戴爱国, 严鹏科. 低氧诱导因子 1 在低氧致肺动脉平滑肌细胞增殖中的作用 [J]. 中国病理生理杂志, 2007, 23(7): 1301 - 1305
- Aaronson PI. TRPC Channel upregulation in chronically hypoxic pulmonary arteries: the HIF - 1 bandwagon gathers steam [J]. Circ Res, 2006, 98(12): 1465 - 1467
- Zhao J, Zhou Z, Hu H, et al. The relationships among reactive oxygen species, hypoxic factor 1 α and cell proliferation in rat pulmonary arterial smooth muscle cells under hypoxic [J]. Physiologica Sinica, 2007, 59(3): 319 - 324
- Sanders KA, Hoidal JR. The NOX on pulmonary hypertension [J]. Circ Res, 2007, 101(3): 224 - 226
- 汤娜娜, 刘先胜, 徐永健, 等. 活性氧和 ERK1/2 信号通路在缺氧大鼠肺动脉平滑肌细胞增殖和凋亡中的作用 [J]. 中国病理生理杂志, 2009, 25(1): 36 - 41

(收稿日期:2015 - 02 - 05)

(修回日期:2015 - 02 - 26)